

# Aproximación Discreta de la Relatividad General

Eduard Alexis Larrañaga Rubio  
Universidad Nacional de Colombia

29 de octubre de 2018



# Índice general

0.1. INTRODUCCION . . . . .	IV
<b>I Cálculo de Regge</b>	<b>1</b>
<b>1. Simplex, Complex Simpliciales y Poliedros</b>	<b>3</b>
1.1. Poliedros y variedades bi-dimensionales . . . . .	4
1.1.1. Curvatura Integral Gaussiana . . . . .	4
1.2. Matriz de Conexion y Transporte Paralelo . . . . .	6
1.2.1. $\varepsilon$ -Conos . . . . .	7
<b>2. Variedades n-Dimensionales</b>	<b>9</b>
2.1. El Grupo Fundamental . . . . .	9
2.1.1. Grupo Fundamental para los $\varepsilon$ -Conos . . . . .	12
2.2. Espacios Esqueleto . . . . .	13
2.3. Variedades Diferenciales . . . . .	14
2.3.1. Identidades de Bianchi . . . . .	15
2.4. Variedades Lorentzianas . . . . .	18
<b>3. Cálculo de Regge y Relatividad General</b>	<b>21</b>
3.1. Ecuaciones de Campo de Einstein en el Vacío . . . . .	21
3.2. Desviación de la Geodesicas en el Modelo de Regge . . . . .	24
3.2.1. Desviación de Geodesicas en Relatividad General . . . . .	24
3.2.2. Desviación de las Geodésicas en el modelo discretizado: . . . . .	26
<b>Apéndice 1: Variación de la Acción de Regge</b>	<b>31</b>
<b>Apéndice 2: Cambio en el área de un triángulo en función de la variación en la longitud de sus lados.</b>	<b>35</b>

## 0.1. INTRODUCCION

Einstein nos presentó hace ya casi 100 años una descripción de la gravedad como geometría. Ahora, el Cálculo de Regge nos presenta una aproximación a la Relatividad General en la que la variedad Espacio-Tiempo es modelada mediante bloques 4-dimensionales con geometría plana ( Lorentziana ) llamados *Simplex*. Más exactamente, un complex simplicial geométrico cuadridimensional es utilizado como un modelo del espacio-tiempo.

Este conjunto de notas es una pequeña introducción al método desarrollado por Regge<sup>[1]</sup> y su utilización en la solución de problemas en Relatividad General.

En este modelo, las propiedades geométricas de la variedad son expresadas en términos de la longitud de las aristas del complex. De esta manera, el Cálculo de Regge se convierte en una teoría discretizada en la que las longitudes de las aristas son las variables dinámicas fundamentales.

Supongamos ahora que conocemos la geometría de una hipersuperficie como-de-espacio de la variedad 4-dimensional espacio-tiempo. Ya que las ecuaciones geometrodinámicas de Einstein son deterministas, la geometría a partir de este instante estará completamente determinada.

En términos del Cálculo de Regge, esto quiere decir que sera posible calcular la longitud de las aristas de los nuevos simplex a partir de las longitudes de los simplex anteriores. Una vez se halla discretizado o esqueletizado toda la variedad, tendremos un "catálogo" con la longitud de todas las aristas o huesos, y con ello conoceremos la geometría completa de cada hipersuperficie.

Parte I

Cálculo de Regge



# Capítulo 1

## Simplex, Complex Simpliciales y Poliedros

Comenzaremos definiendo los bloques fundamentales con los que se modelará una variedad  $n$ -dimensional.

**Definición 1** *Dados  $n+1$  puntos en  $\mathbb{R}^m$ , ( $m \geq n$ ), enumerados por  $p_0, p_1, p_2, \dots, p_n$ , si estos puntos son geoméricamente independientes (i.e no existe un hiperplano  $(n-1)$ -dimensional que contenga a los  $n+1$  puntos), entonces definimos el simplex  $n$ -dimensional  $T_n = \langle p_0 p_1 \dots p_n \rangle$  como :*

$$T_n = \left\{ x \in \mathbb{R}^m : x = \sum_{i=1}^{n+1} c_i p_i \quad , \quad \text{donde } c_i \geq 0 \quad \text{y} \quad \sum_{i=1}^{n+1} c_i = 1 \right\} \quad (1.1)$$

Así, tenemos que un 0-simplex  $T_0 = \langle p_0 \rangle$  es un punto o vértice, un 1-simplex  $T_1 = \langle p_0 p_1 \rangle$  es una línea o arista, un 2-simplex  $T_2 = \langle p_0 p_1 p_2 \rangle$  es un triángulo con su interior incluido y un 3-simplex  $T_3 = \langle p_0 p_1 p_2 p_3 \rangle$  es un tetraedro sólido.

**Nota 1** *Ya que  $T_n$  es un subconjunto cerrado de  $\mathbb{R}^m$  entonces  $T_n$  es compacto.*

**Definición 2** *Sea  $T_n = \langle p_0 p_1 \dots p_n \rangle$  un  $n$ -simplex y  $0 \leq r \leq n$  un entero. Si tomamos  $r + 1$  puntos  $p_{i_0}, p_{i_1}, \dots, p_{i_r}$  del conjunto  $p_0, p_1, \dots, p_n$  entonces estos forman un  $r$ -simplex  $T_r = \langle p_{i_0} p_{i_1} \dots p_{i_r} \rangle$  y se denomina una  $r$ -cara del simplex  $T_n$ .*

**Nota 2** *El número de  $r$ -caras de un  $n$ -Simplex es  $\binom{n+1}{r+1}$*

**Definición 3** Sea  $K$  un conjunto finito de simplex en  $\mathbb{R}^n$ . Si estos simplex están unidos entre sí y satisfacen:

1. a) 1) Si  $\sigma$  es una cara de un simplex en  $K$ , entonces  $\sigma \in K$
- 2) Si  $T$  y  $T'$  son simplex de  $K$ , entonces  $T \cap T'$  es vacío o una cara de  $T$  y de  $T'$

entonces  $K$  se denomina un *Complex Simplicial*.

**Nota 3** La dimensión de un Complex  $K$  se define como la máxima dimensión de los simplex del conjunto  $K$ .

**Definición 4** Sea  $K$  un Complex. Si cada simplex perteneciente a  $K$  es considerado como un subconjunto de  $\mathbb{R}^n$  ( $n \geq \dim K$ ) entonces la unión de todos los simplex es un subconjunto de  $\mathbb{R}^n$ . Este subconjunto se denomina el *Poliedro*  $|K|$  del complex simplicial  $K$ .

**Nota 4** La dimensión de  $|K|$  como subconjunto de  $\mathbb{R}^n$  es la misma de  $K$ . ( $\dim |K| = \dim K$ ).

**Definición 5** Sea  $X$  un espacio Topológico. Si existe un Complex  $K$  y un homeomorfismo  $f : |K| \rightarrow X$ , entonces se dice que  $X$  es *triangulable* y el par  $(K, f)$  se denomina una *Triangulación* de  $X$ .

## 1.1. Poliedros y variedades bi-dimensionales

Comenzaremos ahora con una descripción inicial de la teoría de curvatura intrínseca en poliedros en un caso simple tal como lo es una variedad bidimensional (superficie) para luego realizar su generalización a  $n$  dimensiones. En general una superficie arbitraria puede ser considerada como el límite de una sucesión de poliedros cuyo número de caras va incrementándose. La aproximación que nos ofrecen estos poliedros es mala si se observa de cerca la superficie, pero para un observador lejano esta es satisfactoria.

### 1.1.1. Curvatura Integral Gaussiana

En cualquier superficie puede definirse una curvatura integral Gaussiana mediante el uso de triángulos construidos con geodésicas.

Supongamos un triángulo  $t$  cuyos ángulos internos son  $\alpha, \beta, \gamma$ . En general, para geometrías no-Euclidianas tenemos  $\alpha + \beta + \gamma \neq \pi$ . Así, definimos la *Curvatura Integral Gaussiana*  $\varepsilon_{Gt}$  del triángulo  $t$  como:

$$\varepsilon_{Gt} = \alpha + \beta + \gamma - \pi \tag{1.2}$$



De esta manera, por ejemplo, en una esfera, la curvatura integral Gaussiana será:  $\varepsilon_{Gt} = \frac{A_t}{R^2}$  donde  $A_t$  es el area del triangulo  $t$  y  $R$  es el radio de la esfera.

Ahora bien, si  $t$  se reduce hasta convertirse un punto  $P$  y el límite  $\lim_{A \rightarrow 0} \frac{\varepsilon_{Gt}}{A_t} = K(P)$  existe y es independiente de la forma de realizarse, se toma la función  $K(P)$  como la definición de *Curvatura Gaussiana Local en el punto  $P$* .

En el caso de la esfera tenemos  $K(P) = \frac{1}{R^2}$ .

De esta manera tenemos que la Curvatura Integral Gaussiana se puede escribir como:

$$\varepsilon_{Gt} = \int_{\tau} K(P) dA \quad (1.3)$$

Sin embargo debemos hacer claridad en que la curvatura Integral puede existir bajo pocas suposiciones, mientras que la curvatura local puede no existir como una función ordinaria, sino como una medida.

Si consideramos ahora un poliedro  $M$ , observamos que si tomamos un triangulo  $t$  ubicado completamente en una de las caras del poliedro, tendremos  $\varepsilon_{Gt} = 0$ . Este mismo resultado se obtiene si el triangulo no incluye ninguno de los vertices de  $M$ . De aqui concluimos que  $K(P) = 0$  si  $P$  no es un vértice.

Por otro lado, si  $t$  incluye el vertice  $V$  de  $M$ , la curvatura integral no dependerá de la forma de  $t$ . Es decir que  $\varepsilon_{Gt} = \varepsilon_V$  solo depende del vértice que se toma. Para encontrar la *deficiencia* del vertice  $V$  tomamos la suma de todos los ángulos internos de las caras de  $M$  con vértice  $V$ , y esta debe valer  $2\pi - \varepsilon_V$ .

En general si  $t$  contiene varios vértices  $V, W, X$ , etc la curvatura será  $\varepsilon_{Gt} = \varepsilon_V + \varepsilon_W + \varepsilon_X + \dots$  y por lo tanto  $K(P)$  resulta ser una función Delta de Dirac con los vértices como soporte.

### Formula De Euler para Poliedros

Para observar un ejemplo del tratamiento de la curvatura, consideremos un poliedro  $M$  compacto (i.e. finito y cerrado). El teorema para la curvatura integral de Gauss-Bonnet se puede escribir como:

$$\sum_n \varepsilon_n = 2\pi(2 - N) \quad (1.4)$$

donde  $N$  es la clase de  $M$  ( e.g.  $N = 0$  para la esfera,  $N = 2$  para el toro). Ahora bien, si suponemos, sin pérdida de generalidad, que las caras de  $M$  son triángulos, y denotamos por  $\sigma_{fn}$  el ángulo interno de la cara  $f$  con vértice  $n$ , tenemos por la definición de la sección anterior:

$$\sum_f \sigma_{fn} = 2\pi - \varepsilon_n \quad (1.5)$$

donde la sumatoria se realiza sobre las caras  $f$  que tengan a  $n$  como vértice. Tenemos además que

$$\sum_n \sigma_{fn} = \pi \quad (1.6)$$

donde la sumatoria se realiza ahora sobre los vértices de la cara  $f$ .

Ahora bien, la sumatoria doble  $\sum_{fn} \sigma_{fn}$  puede ser obtenida de dos maneras diferentes: Sumando primero sobre los vértices y luego sobre las caras tenemos:

$$\sum_{fn} \sigma_{fn} = \sum_f \sum_n \sigma_{fn} = \sum_f \pi = \pi f \quad (1.7)$$

donde  $f$  es el número de caras de  $M$ .

Por otro lado, sumando primero sobre las caras y utilizando el Teorema de Gauss-Bonnet tenemos:

$$\sum_{fn} \sigma_{fn} = \sum_n \sum_f \sigma_{fn} = \sum_n 2\pi - \varepsilon_n = 2\pi f - \sum_n \varepsilon_n = 2\pi V - 2\pi(2 - N) \quad (1.8)$$

donde  $V$  es el número de Vértices de  $M$ . Ya que estas dos maneras de realizar la sumatoria deben llevar a resultados iguales tenemos:

$$f = 2(V - 2 + N) \quad (1.9)$$

Ya que las caras de  $M$  son triángulos tenemos que  $2e = 3f$  donde  $e$  es el número de aristas de  $M$ . Reemplazando este valor en la ecuación anterior obtenemos la formula de Euler para poliedros:

$$V - e + f = 2 - N \quad (1.10)$$

## 1.2. Matriz de Conexión y Transporte Paralelo

Veamos ahora como una variedad  $M$  puede ser modelada mediante una red simplicial o complex. Una vez construida esta red, la geometría intrínseca de  $M$  vendrá dada por la longitud de sus aristas y por la llamada *Matriz de Conexión*, la cual es en esencia una lista de todas las caras, aristas y vértices de  $M$  junto con su relación mutua. Esta matriz nos permitirá conocer cuales vértices y aristas pertenecen a una cara dada, y por lo tanto en ella esta implícita toda la información topológica de  $M$ . Además, al conocer la longitud de todas las aristas, tendremos también las deficiencias  $\varepsilon_n$  de cada vértice.

De esta manera, la noción de red simplicial reemplaza la red de coordenadas que se utilizan en la variedad, mientras que el tensor métrico será reemplazado por la longitud de las aristas.

Cuando el número de vértices y/o caras de  $M$  se incrementa, la Curvatura Local se puede aproximar a una función continua:  $K(P) = \rho\varepsilon$ , donde  $\rho$  es la densidad de vértices y  $\varepsilon$  su deficiencia. Esta aproximación es válida en el caso en que este producto varíe suavemente dentro del triángulo  $t$ .

Al trabajar en dimensiones más altas es conveniente utilizar el Transporte Paralelo de Levi-Civita (TP) para medir la curvatura.

Supongamos dos puntos  $P$  y  $Q$  de  $M$ , y un arco  $a$  que los une. Entonces, el TP es un mapeo ortogonal del espacio vectorial  $S_p$  en el punto  $P$  al espacio vectorial  $S_q$  en el punto  $Q$ . En particular, si  $P = Q$  tenemos que  $a$  es un aro y el TP mapea  $S_p$  en sí mismo, por lo tanto TP debe ser una rotación de  $S_p$  en un ángulo  $\varepsilon(a)$  que depende del camino recorrido  $a$ . Este ángulo corresponde precisamente a la curvatura integral Gaussiana:

$$\varepsilon(a) = \int_a K(P)dA \quad (1.11)$$

ya que si por ejemplo la curva cerrada  $a$  corresponde a un triángulo  $t$  tendremos  $\varepsilon(a) = \varepsilon_{Gt}$ .

Además,  $\varepsilon$  es una función aditiva en el camino que se recorre. Si tomamos dos aros  $a$  y  $b$  con el mismo punto final  $P$  y realizamos un TP alrededor del "producto"  $ab$  (i.e. recorreremos primero el aro  $a$  y luego continuamos por el aro  $b$ ), tenemos:

$$\varepsilon(ab) = \varepsilon(a) + \varepsilon(b) \quad (1.12)$$

No consideraremos casos en los cuales un vértice de  $M$  pertenece al aro  $a$ , ya que en este caso el TP no se puede definir sin ambigüedades.

Si un aro  $a$  puede ser deformado continuamente hasta obtener un aro  $b$ , manteniendo  $P$  fijo y sin encontrarnos con un vértice, tenemos que  $\varepsilon(a) = \varepsilon(b)$  y por lo tanto escribiremos  $a = b$ .

### 1.2.1. $\varepsilon$ -Conos

Consideremos ahora una variedad  $M$  con un solo vértice. Esta variedad puede imaginarse entonces como un cono o una pirámide. Tomando coordenadas polares planas  $\rho$  y  $\theta$  con origen en el vértice, la métrica vendrá dada por:

$$ds^2 = d\rho^2 + \rho^2 d\theta^2 \quad (1.13)$$

En el plano Euclideo dos puntos con coordenadas  $\rho$  iguales y con coordenadas  $\theta$  diferentes en un múltiplo de  $2\pi$  son idénticos. En la variedad  $M$  dos puntos con la misma coordenada  $\rho$  serán idénticos si sus coordenadas  $\theta$  difieren en un múltiplo de  $2\pi - \varepsilon$ .

Esta variedad es conocida como el  $\varepsilon$ -Cono, y es Euclidea en todos sus puntos excepto en el vértice, el cual tiene una deficiencia  $\varepsilon$ .

Consideremos ahora la recta real  $R$  con variable  $z$ . El producto  $R \otimes \varepsilon - Cono$  es una variedad que posee la métrica:

$$ds^2 = dz^2 + d\rho^2 + \rho^2 d\theta^2 \quad (1.14)$$

Este espacio es Euclideo excepto en la línea  $\rho = 0$  y es conocido como  $\varepsilon - 3Cono$

En general, si consideramos el producto  $R^{n-2} \otimes \varepsilon - Cono$  con la métrica

$$ds^2 = dz_1^2 + dz_2^2 + \dots + dz_{n-2}^2 + d\rho^2 + \rho^2 d\theta^2 \quad (1.15)$$

obtenemos entonces un  $\varepsilon - nCono$  y esta variedad es Euclidea excepto en el subconjunto plano  $n - 2$  dimensional  $\rho = 0$ .

## Capítulo 2

# Variedades n-Dimensionales

### 2.1. El Grupo Fundamental

Consideraremos ahora una Variedad Riemanniana  $n$ -dimensional  $M$ . Tenemos entonces las siguientes definiciones:

**Definición 6** Una trayectoria  $a$  es una función continua y univaluada  $A(s)$  de un parámetro  $s \in \mathbb{R}$ ,  $0 \leq s \leq 1$ . Los puntos  $A(0)$  y  $A(1)$  son los puntos inicial y final de la trayectoria.

Si  $A(0) = A(1) = A$  la trayectoria se denomina Aro

**Definición 7** Sean  $a$  y  $b$  dos trayectorias definidas por las funciones  $A(s)$  y  $B(s)$  tales que  $A(1) = B(0)$ . Entonces el producto  $c = ab$  es definido por la función:

$$C(s) = \begin{cases} A(2s) & \text{para } s < 0,5 \\ B(2s - 1) & \text{para } s \geq 0,5 \end{cases}$$

Este producto de trayectorias es asociativo pero en general no es conmutativo ( $ab \neq ba$ ).

Si  $a$  y  $b$  son aros con el mismo punto final  $P$  entonces  $ab$  y  $ba$  existen y son aros con punto final  $P$ .

**Definición 8** Sea  $a$  una trayectoria definida por la función  $A(s)$ . La trayectoria inversa  $a^{-1}$  está definida por la función  $A(1 - s)$ .

Consideraremos ahora que la variedad  $M$  es Euclídeana excepto en un subconjunto cerrado  $w \subset M$  que posee curvatura. Sean entonces  $a$  y  $b$  dos trayectorias con los mismos puntos iniciales y finales, y definidas por las funciones  $A(s)$  y  $B(s)$ . Además supondremos siempre que  $A(s) \notin w$  y  $B(s) \notin w$ . Definimos entonces:

**Definición 9** Si existe una función univaluada  $P(s, t)$  de  $s \in \mathbb{R}$ ,  $0 \leq s \leq 1$  y de  $t \in \mathbb{R}$ ,  $0 \leq t \leq 1$  continua en los parámetros  $t$  y  $s$ , tal que  $P(s, 0) = A(s)$  y  $P(s, 1) = B(s)$  decimos que se ha deformado  $a$  en  $b$  y la función  $P(s, t)$  se llama una deformación.

**Definición 10** Sea una deformación  $P(s, t)$  que deforma  $a$  en  $b$  tal que  $P(s, t) \notin w$  para todo  $s, t$ . Escribimos entonces  $a \sim b$ .

**Teorema 1** El símbolo  $\sim$  satisface las propiedades formales de una equivalencia (holonomía).

Para probar el anterior teorema sean  $a$  y  $b$  dos trayectorias.

Tenemos que  $a \sim a$  ya que podemos tomar como deformación la función  $P(s, t) = A(s)$

Si  $a \sim b$  entonces  $P(s, 1 - t)$  deforma  $b$  en  $a$  y  $P(s, 1 - t) \notin w$  por lo tanto  $b \sim a$

Por último, si  $P(s, t)$  deforma  $a$  en  $b$  y  $Q(s, t)$  deforma  $b$  en  $c$  y además  $a \sim b$ ,  $b \sim c$ , entonces la función :

$$R(s, t) = \begin{cases} P(s, 2t) & \text{para } t < 0,5 \\ Q(s, 2t - 1) & \text{para } t \geq 0,5 \end{cases}$$

deforma  $a$  en  $c$  y además  $R(s, t) \notin w$  por lo que  $a \sim c$ .

Las anteriores definiciones se aplican de la misma forma a los aros con la condición adicional de que después de la transformación la nueva trayectoria sea un aro, esto es  $P(0, t) = P(1, t)$  para todo  $t$ .

**Definición 11** Sean  $a$  y  $b$  dos aros y  $P(s, t)$  una deformación que lleva  $a$  en  $b$ . Si se cumple que  $P(0, t) = P(1, t) = P(0, 0) = P$  entonces escribimos  $a \approx b$ .

El signo  $\approx$  se aplica únicamente a aros. Claramente  $a \approx b$  implica  $a \sim b$  pero la implicación inversa no es cierta.

**Teorema 2** El símbolo  $\approx$  define una equivalencia (homotopía en  $M - w$ )

Para probar este teorema sean  $a$  y  $b$  dos aros y  $P(s, t)$  una deformación que lleva  $a$  en  $b$ .

Observemos que  $a \approx a$  ya que podemos tomar como deformación la función  $P(s, t) = A(s)$

Si  $a \approx b$  entonces  $P(s, 1 - t)$  deforma  $b$  en  $a$  y  $P(s, 1 - t) \notin w$  por lo tanto  $b \approx a$

Por último, si  $a, b$  y  $c$  son aros y  $P(s, t)$  deforma  $a$  en  $b$  y  $Q(s, t)$  deforma  $b$  en  $c$  y además  $a \approx b$ ,  $b \approx c$ , entonces la función :

$$R(s, t) = \begin{cases} P(s, 2t) & \text{para } t < 0,5 \\ Q(s, 2t - 1) & \text{para } t \geq 0,5 \end{cases}$$

deforma  $a$  en  $c$  y además  $R(s, t) \notin w$  por lo que  $a \approx c$ .

**Definición 12** Definimos ahora el aro unidad  $u$  en un punto  $P$  por medio de la función  $U(s) = P = \text{const}$ .

Claramente para cualquier trayectoria  $a$  tenemos  $aa^{-1} = u$

**Teorema 3** Sean  $a, a', b$  y  $b'$  aros tales que  $a \approx a'$  y  $b \approx b'$ . Entonces  $ab \approx a'b'$ .

Para la prueba del teorema sean  $P(s, t)$  la función que deforma  $a$  en  $a'$  y  $Q(s, t)$  la función que deforma  $b$  en  $b'$ . Entonces la función

$$R(s, t) = \begin{cases} P(2s, t) & \text{para } s < 0,5 \\ Q(2s - 1) & \text{para } s \geq 0,5 \end{cases}$$

es una deformación de  $ab$  a  $a'b'$ , con  $R(0, t) = R(1, t)$  y además  $R(s, t) \notin w$ . Por lo tanto tenemos  $ab \approx a'b'$ .

Si tomamos ahora un conjunto de aros con punto final  $P$ , podemos dividirlo en clases de equivalencia. Cada una de estas clases esta caracterizada por uno de sus elementos, y por lo tanto utilizaremos uno de sus aros para identificar la clase completa.

Definimos entonces el *GRUPO FUNDAMENTAL* como el conjunto de todas las clases de equivalencia con el producto de trayectorias dado anteriormente. Para demostrar que se cumplen los axiomas de un Grupo veamos que:

Si  $a$  y  $b$  son clases entonces todos los productos  $ab'$  con  $a \approx a'$  y  $b \approx b'$  son homotópicos y pertenecen a una nueva clase que definimos como el producto  $ab$ . Este producto de clases es asociativo.

Si  $a$  es una clase y  $u$  es la clase unitaria entonces  $au = ua = a$ .

A cada clase  $a$  asociamos una clase inversa  $a^{-1}$  tal que  $aa^{-1} = a^{-1}a = u$ .

A cada aro  $a$  se le puede asociar una matriz ortogonal  $S(a)$  de la siguiente manera:

Tomamos un vector  $\mathbf{A}$  en el punto  $P$  y lo transportamos paralelamente (TP) a través de  $a$ . Existe entonces un mapeo lineal y que preserva la norma que relaciona las posiciones inicial y final del vector  $\mathbf{A}$ . Si escogemos un sistema de referencia ortogonal local en  $P$ , este mapeo se puede representar mediante una matriz ortogonal  $S(a)$ .

Como caso particular, si nuestro sistema de referencia es localmente pseudo-Euclideo (e.g. Lorentziano), las matrices que represetan el TP son matrices de Lorentz.

Ahora bien, dos aros homotópicos producirán la misma posición final del vector transportado paralelamente, y por lo tanto serán representados por la misma matriz. Esto nos indica que la matriz ortogonal  $S(a)$  es función de las clases de Equivalencia, lo que implica que el conjunto de matrices ortogonales son una *Representación del Grupo Fundamental en el Espacio Vectorial del punto P*.

Para comprobar esto, veamos primero que a todos los aros  $v \approx u$  les corresponde la matriz unidad. Para ello sea  $T(s, t)$  la función de deformación que lleva  $v$  en  $u$ . El conjunto de todos los puntos  $T(s, t)$  es una superficie simplemente conexa  $\Sigma$ . Podemos tomar entonces en  $\Sigma$  y en una vecindad de  $\Sigma$  apropiada, un sistema de referencia globalmente Euclideo, y así el resultado de un TP a lo largo de  $v$  calculado en este sistema de referencia es la identidad.

Ahora bien, sean  $S(a), S(b), S(c)$  son las matrices correspondientes a los aros  $a, b, c$  y  $c = ab$ . Tomamos un vector  $\mathbf{V}$  en  $P$  y lo transportamos a lo largo de  $a$ . Obtenemos entonces  $S(a)\mathbf{V}$ . Si transportamos ahora este vector a lo largo de  $b$  obtenemos  $S(b)S(a)\mathbf{V}$ . Este resultado debe ser igual a transportar el vector original  $\mathbf{V}$  a lo largo de  $c$ , es decir  $S(c)\mathbf{V} = S(b)S(a)\mathbf{V}$ . Ya que el vector  $\mathbf{V}$  es arbitrario obtenemos  $S(c) = S(b)S(a)$ .

Por último, si  $a \approx a'$  entonces podemos escribir  $a = va'$  donde  $v \approx u$ . Tenemos entonces que  $S(a) = S(v)S(a')$ , pero ya que  $S(v) = 1$  obtenemos  $S(a) = S(a')$ . Es decir que la matriz es función de la clase de equivalencia.

### 2.1.1. Grupo Fundamental para los $\varepsilon$ -Conos

Como un caso particular tomamos un aro en un  $\varepsilon$ -Cono. Podemos entonces dar el ángulo  $\theta$  para cada punto en el aro como una función de  $s$ . Podemos entonces definir sin pérdida de generalidad  $\theta(0) = 0$ . De esta manera tenemos entonces  $\theta(1) = N(2\pi - \varepsilon)$  donde  $N$  nos da el número de vueltas que el aro da a la línea  $\rho = 0$  (*Hueso*) el cual coincide con el subconjunto  $w$  definido anteriormente. Dos aros con igual  $N$  son homotópicos. De esta manera llamaremos  $a(N)$  la clase de equivalencia correspondiente.

El producto de dos clases de equivalencia será  $a(N)a(M) = a(N + M)$ . Es decir que el Grupo fundamental es Isomorfo al grupo de los enteros bajo adición.

Para encontrar la representación del Grupo Fundamental en términos de las matrices Ortogonales  $S(a(n)) = S(n)$  notemos que si llamamos  $S(0) = S$  tenemos que para un  $N$  dado  $S(N) = S^N$ .

$S$  es llamado el Generador del Hueso.

Consideremos ahora un  $\varepsilon$ - $n$ Cono. Tomamos un vector  $V$  en el punto  $P$ , y lo transportamos a lo largo de  $a(1)$ . El vector  $V$  puede expresarse en términos de dos componentes ortogonales, una en el  $\varepsilon$ -Cono y otra en  $R^{n-2}$ . La primera componente será rotada en un ángulo  $\varepsilon$ , mientras que la segunda permanece invariante. Esto nos muestra que la representación del Grupo Fundamental en este caso es una matriz  $n \times n$  con un espacio invariante  $R^{n-2}$ . por ejemplo en el caso de un  $\varepsilon$ -3Cono el espacio invariante es una Recta y por lo tanto la matriz  $S$  es una rotación con eje  $R^{n-2} = R$ .



## 2.2. Espacios Esqueleto

Los *Espacios Esqueleto* corresponden a la generalización  $n$ -dimensional de los Poliedros definidos anteriormente. En ellos la curvatura se concentra en subespacios de dimension  $n - 2$  llamados *Huesos*. Una de estas estructuras son los  $\varepsilon - n$ Conos.

Al igual que en el caso bidimensional comenzamos por una descomposición simplicial de la variedad, en este caso  $n$ -dimensional  $M$ . Esta descomposición determina la topología de la variedad, pero no su métrica, la cual será definida siguiendo los siguientes axiomas:

**Axioma 1** *La métrica en el interior de cualquier simplex cerrado  $n$ -dimensional  $T_n$  es Plana (e.g. Euclideana en  $M_3$  o Lorentziana en  $M_4$ ).*

*Podemos entonces calcular la distancia entre dos puntos cualquiera dentro del Simplex, definir un sistema de coordenadas cartesiano y expresar las coordenadas de los puntos de la frontera de  $T_n$  en este sistema.*

**Axioma 2** *En la métrica propia de  $T_n$ , la frontera del Simplex se puede expresar como la suma de  $n + 1$  simplex cerrados  $T_{n-1}$  y estos simplex son planos.*

**Axioma 3** *Si el simplex  $T_{n-1}$  es frontera común de  $T_n$  y de  $T'_n$  entonces la distancia entre dos puntos cualquiera de  $T_{n-1}$  es la misma en los sistemas de referencia de  $T_n$  y de  $T'_n$ .*

**Axioma 4** *Si  $P \in T_n$  y  $P' \in T'_n$  y  $P, P'$  estan lo suficientemente cerca de la frontera comun  $T_{n-1}$  entonces la distancia  $PP'$  se define como el infimo de las distancias  $PQ + QP'$  para  $Q \in T_{n-1}$ .*

Con estos axiomas obtenemos una métrica plana también en  $T_{n-1}$  excepto en las fronteras  $T_{n-2}$ . Además esta definición es estrictamente local, pero nos permite unir suavemente los simplex vecinos.

De esta manera, la Variedad  $M$  es Plana excepto en la unión  $w$  de los simplex frontera o Huesos  $T_{n-1}$ .

En particular en una variedad tridimensional  $M_3$  los Huesos son segmentos de recta mientras que los  $T_{n-3}$  son puntos. Cada hueso conecta dos  $T_{n-3}$ . Si conocemos la longitud de todos y cada uno de los huesos, entonces podemos conocer la estructura geométrica de los simplex y de la variedad. En particular podemos conocer también el ángulo dihedral. Por ejemplo, si en un hueso dado no existe curvatura, entonces la suma de todos los ángulos dihedrales alrededor del hueso debe ser  $2\pi$ . Cuando en un hueso existe curvatura, la suma de los angulos dihedrales sera  $2\pi - \varepsilon$ . Reconocemos entonces que la seccion transversal de este hueso sera localmente un  $\varepsilon - Cono$ , y por lo tanto el hueso sera localmente un  $\varepsilon - 3Cono$ . En general en una variedad  $n$ -dimensional  $M$ , el hueso  $T_{n-2}$  tendrá localmente la geometría de un  $\varepsilon - nCono$ .

Ahora bien, un  $T_{n-3}$  puede ser en general un extremo de  $m$  huesos  $T_{n-2}^1 T_{n-2}^2 T_{n-2}^3 \dots T_{n-2}^m$ . Si estos  $m$  se orientan de manera tal que tengan la dirección positiva saliendo de  $T_{n-3}$  entonces se dice que  $T_{n-3}$  es una *m-juntura orientada*.

En una  $m$ -juntura orientada existe una relación entre los generadores de los huesos  $S_p$  ( $p : 1, 2, \dots, m$ ). Para encontrarla supongamos una juntura idealizada aislada ( i.e. los huesos se extienden hasta el infinito). Seleccionamos entonces un orden cíclico para los huesos. Sea  $A_p$  el sector plano que tiene como lados los dos huesos contiguos  $T_{n-2}^p$  y  $T_{n-2}^{p+1}$ . Supondremos que dos de estos sectores no tienen puntos en común, excepto tal vez los puntos de la frontera (hueso). De esta manera estos sectores dividen el espacio en dos regiones  $M$  y  $M'$ . Tomamos ahora un punto  $P \in M$  y un punto  $Q \in M'$  y  $m$  trayectorias  $t_p$  que unen a  $P$  con  $Q$ . Supongamos ahora que la trayectoria  $t_p$  intersecta al sector  $A_p$  una y solo una vez. De esta manera  $t_p t_{p-1}^{-1}$  es un aro  $a_p$  con punto final  $P$  y que encierra al hueso  $T_{n-2}^p$  una vez. Este aro es un candidato para ser el generador de  $T_{n-2}^p$ .

El producto de todos los aros formados de esta manera es:

$$a_1 a_2 a_3 \dots a_p \approx u \quad (2.1)$$

o en terminos de los generadores de los huesos:

$$S_1 S_2 S_3 \dots S_p = 1 \quad (2.2)$$

Como veremos más adelante, la ecuación 2.1 correspondera a la aproximacion geométrica de la Identidad de Bianchi en una Variedad Diferenciable Rimaniana.

### 2.3. Variedades Diferenciales

Para realizar la transición del Espacio Esqueleto a una variedad Diferenciable incrementaremos la densidad  $\rho$  de Huesos manteniendo el producto  $\rho\varepsilon$  como una función suave, tal como se describió anteriormente.

Sea  $M_3$  una variedad tridimensional. Consideremos un haz de Huesos paralelos en  $M_3$ . Supondremos entonces que la curvatura inducida por los huesos es pequeña y por lo tanto  $M_3$  es aproximadamente Euclideana. Sea  $\mathbf{U}$  un vector unitario paralelo a los huesos. Para medir la curvatura de la variedad transportamos paralelamente un vector  $\mathbf{A}$  alrededor de un pequeño aro de area  $\Sigma$  y normal unitaria  $\hat{n}$ . Es decir que tenemos  $\Sigma = \Sigma \hat{n}$ . Despues de realizar el TP el vector  $\mathbf{A}$  ha rotado alrededor de  $\mathbf{U}$  en un ángulo  $\sigma = N\varepsilon$  donde  $N$  es el numero de Huesos ecerrados por el aro, y esta dado por  $N = \rho(\mathbf{U} \cdot \Sigma)$ . Asi, la diferencia entre el vector resultante al terminar el TP y el vector inicial será:

$$\delta \mathbf{A} = \rho\varepsilon(\mathbf{U} \cdot \Sigma)(\mathbf{U} \wedge \mathbf{A}) \quad (2.3)$$

Ahora bien, de la Relatividad General tenemos que el Transporte Paralelo de un vector  $A_\mu$  produce el cambio:

$$\delta A_\mu = R_{\mu\alpha\beta}^\sigma \Sigma^{\alpha\beta} A_\sigma \quad (2.4a)$$

donde  $\Sigma^{\alpha\beta} = \epsilon^{\alpha\beta\gamma} \Sigma_\gamma$  con  $\epsilon^{\alpha\beta\gamma}$  el simbolo de Levi-Civita en tres dimensiones y  $R_{\mu\alpha\beta}^\sigma$  es el tensor de Riemann.

Comparando las Ecuaciones 2.3 y 2.4a obtenemos:

$$R_{\mu\sigma\alpha\beta} = \rho \varepsilon U_{\mu\sigma} U_{\alpha\beta} \quad (2.5)$$

Con  $U_{\mu\sigma} = \epsilon_{\mu\sigma\lambda} U^\lambda$ . Esta aproximación tiene todas las propiedades de simetría que posee el Tensor de Riemann, y además cuando existen más haces de huesos, el efecto es puramente aditivo.

En una variedad  $n$ -dimensional  $M$ , un hueso tiene una orientación determinada por un tensor Sesqui-Simétrico  $U_{\mu\sigma}$  tal que  $U_{\mu\sigma} U^{\mu\sigma} = 2$  y  $U_{\mu\sigma} U_{\alpha\beta} + U_{\mu\alpha} U_{\beta\sigma} + U_{\mu\beta} U_{\sigma\alpha} = 0$ . En este caso, si trabajamos con un haz de huesos paralelos, escogemos las coordenadas  $x_1$  y  $x_2$  perpendiculares al haz y las coordenadas  $x_3, x_4, \dots, x_n$  paralelas al haz. Así, tenemos  $U_{12} = -U_{21} = 1$  mientras que las demás componentes son cero. La Ecuación 2.5 aún es válida si hacemos que los índices  $\mu, \nu, \alpha, \beta$  tomen los valores  $1, 2, 3, \dots, n$ .

Por otro lado, independientemente del valor de  $n$ , el escalar de curvatura viene dado por:

$$R = 2\rho\varepsilon \quad (2.6)$$

### 2.3.1. Identidades de Bianchi

Mostraremos ahora como las Ecuaciones 2.1 y 2.2 corresponden a las Identidades de Bianchi. Para ello observemos que la Ecuación 2.1 nos indica que al recorrer todos los aros alrededor de los huesos en una  $m$ -juntura en  $M_3$  obtenemos el mismo vector con que comenzamos, es decir que la composición de los  $m$  aros produce la identidad. De esta manera, si las deficiencias de cada hueso de la juntura  $\varepsilon$  son pequeños, podemos escribir esta relacion para la  $m$ -juntura como:

$$\sum_{p=1}^m \varepsilon_p U_{\mu\nu}^p = 0 \quad (2.7)$$

o equivalentemente

$$\sum_{p=1}^m \varepsilon_p \mathbf{U}^p = 0 \quad (2.8)$$

Ahora bien, supongamos una distribución de densidad  $\varrho$  de  $m$ -junturas idénticas. Es decir que tendremos  $m$  haces de huesos paralelos. Supongamos entonces que el  $p$ -ésimo haz de huesos tiene una deficiencia  $\varepsilon_p$ , una dirección dada por el vector  $\mathbf{U}^p$  y una densidad  $\rho_p$ . Es claro que  $\rho_p$  no es constante, ya que cada junta hace un decaimiento o un crecimiento de esta densidad con una razón que depende de la densidad de juntas  $\varrho$ .

Por definición tenemos que  $\rho_p$  es la densidad de flujo de huesos que salen de la junta a través de una superficie  $\Sigma$  ortogonal a  $\mathbf{U}^p$ . Supongamos ahora que la posición de la superficie  $\Sigma$  está determinada por una abscisa  $s$  que se mide sobre la dirección del vector  $\mathbf{U}_p$ . Sea entonces  $C$  un cilindro de altura  $ds$  y base  $\Sigma(s)$ . Así, cada junta dentro de  $C$  incrementa en una unidad el flujo de  $\rho_p$  huesos a través de la superficie  $\Sigma(s + ds)$ . Además dentro del cilindro  $C$  existirán  $\Sigma \cdot \varrho \cdot ds$  juntas. De esta manera tendremos:

$$\Sigma \rho_p(s + ds) - \Sigma \rho_p(s) = \Sigma \varrho(s) ds \quad (2.9)$$

es decir:

$$\frac{d\rho_p}{ds} = \varrho(s) \quad (2.10)$$

En general, esta expresión será:

$$\mathbf{U}^{p,\mu} \cdot \partial_\mu \rho_p = \varrho \quad (2.11)$$

Ahora bien, el Tensor de Riemann vendrá dado por la expresión 2.5 pero debemos sumar sobre todas las juntas, es decir:

$$R_{\alpha\beta\lambda\delta} = \sum_p \varepsilon_p \rho_p U_{\alpha\beta}^p U_{\lambda\delta}^p \quad (2.12)$$

Ya que hemos supuesto que la curvatura inducida por los huesos es pequeña, podemos aproximar también las derivadas covariantes con derivadas normales, y de esta manera las identidades de Bianchi serán:

$$B_{\alpha\beta\lambda\delta\gamma} = \frac{\partial}{\partial x^\gamma} R_{\alpha\beta\lambda\delta} + \frac{\partial}{\partial x^\lambda} R_{\alpha\beta\delta\gamma} + \frac{\partial}{\partial x^\delta} R_{\alpha\beta\gamma\lambda} = 0 \quad (2.13)$$

Reemplazando la Ecuación 2.12 en la Ecuación 2.13 y tratando  $\varepsilon_p$  y  $U^p$  como constantes tenemos:

$$B_{\alpha\beta\lambda\delta\gamma} = \sum_p \varepsilon_p U_{\alpha\beta}^p U_{\lambda\delta}^p \frac{\partial \rho_p}{\partial x^\gamma} + \sum_p \varepsilon_p U_{\alpha\beta}^p U_{\delta\gamma}^p \frac{\partial \rho_p}{\partial x^\lambda} + \sum_p \varepsilon_p U_{\alpha\beta}^p U_{\gamma\lambda}^p \frac{\partial \rho_p}{\partial x^\delta} = 0 \quad (2.14)$$

es decir:

$$B_{\alpha\beta\lambda\delta\gamma} = \sum_p \varepsilon_p U_{\alpha\beta}^p \left[ U_{\lambda\delta}^p \frac{\partial}{\partial x^\gamma} + U_{\delta\gamma}^p \frac{\partial}{\partial x^\lambda} + U_{\gamma\lambda}^p \frac{\partial}{\partial x^\delta} \right] \rho_p = 0 \quad (2.15)$$

Es inmediato verificar que se tiene la identidad entre operadores:

$$U_{\lambda\delta} \frac{\partial}{\partial x^\gamma} + U_{\delta\gamma} \frac{\partial}{\partial x^\lambda} + U_{\gamma\lambda} \frac{\partial}{\partial x^\delta} = \varepsilon_{\gamma\lambda\delta} U^v \frac{\partial}{\partial x^v} \quad (2.16)$$

$$U_{\lambda\delta} \frac{\partial}{\partial x^\gamma} + U_{\delta\gamma} \frac{\partial}{\partial x^\lambda} + U_{\gamma\lambda} \frac{\partial}{\partial x^\delta} = \varepsilon_{\gamma\lambda\delta} U^v \partial_v \quad (2.17)$$

Reemplazando esta identidad en 2.15 tenemos:

$$B_{\alpha\beta\lambda\delta\gamma} = \sum_p \varepsilon_p U_{\alpha\beta}^p [\varepsilon_{\gamma\lambda\delta} U^{p,v} \partial_v] \rho_p = 0 \quad (2.18)$$

$$B_{\alpha\beta\lambda\delta\gamma} = \varepsilon_{\gamma\lambda\delta} \sum_p \varepsilon_p U_{\alpha\beta}^p U^{p,v} \partial_v \rho_p = 0 \quad (2.19)$$

Haciendo uso de 2.11 tenemos:

$$B_{\alpha\beta\lambda\delta\gamma} = \varrho \varepsilon_{\gamma\lambda\delta} \sum_p \varepsilon_p U_{\alpha\beta}^p = 0 \quad (2.20)$$

que coincide exactamente con 2.7 y por lo tanto nos muestra la relación de 2.1 y de 2.2 con las identidades de Bianchi.

## 2.4. Variedades Lorentzianas

Cuando la signatura del tensor métrico  $\mathbf{g}$  de una variedad  $n$ -dimensional  $M_n$ , es  $\text{sig}(\mathbf{g}) = 2 - n$  la variedad se denomina Lorentziana. En este caso, la métrica de la variedad no es siempre positiva. En este caso, la representación del grupo fundamental, es decir las matrices ortogonales  $S$  deben ser reemplazadas por matrices de Lorentz. Correspondientemente, en el Espacio Esqueleto, los ángulos de deficit pueden ser imaginarios.

Nos restringiremos ahora al caso 4-dimensional. En esta variedad, los huesos son triángulos, y la métrica tiene una coordenada temporal. De esta manera tenemos tres clases de huesos:

1. *Como-de-Espacio*: Cuando cualquier vector en el hueso es como de espacio. El ángulo de deficit  $\varepsilon$  es imaginario.
2. *Nulo*: Cada vector en el hueso es una combinación lineal de un vector nulo y un vector como de espacio ortogonal a él. En este caso tenemos  $\varepsilon = 0$ .
3. *Como-de-Tiempo*: Existen vectores como-de-tiempo y como-de-espacio en el hueso.  $\varepsilon$  es real.

Ahora definiremos el área  $L$  de un hueso. Para ello, notemos que en  $M_3$  el área de un triángulo que tiene como lados los vectores  $\mathbf{B}$  y  $\mathbf{C}$  viene descrita por el vector:

$$2\mathbf{A} = \mathbf{B} \times \mathbf{C} \quad (2.21)$$

que es perpendicular a  $\mathbf{B}$  y a  $\mathbf{C}$ . La magnitud del área sera:

$$4A^2 = B^2C^2 \sin^2 \theta \quad (2.22)$$

donde  $\theta$  es el ángulo formado por los vectores  $\mathbf{B}$  y  $\mathbf{C}$ . Tenemos entonces:

$$4A^2 = B^2C^2(1 - \cos^2 \theta) = B^2C^2 - B^2C^2 \cos^2 \theta \quad (2.23)$$

$$4A^2 = B^2C^2 - (\mathbf{B} \cdot \mathbf{C})^2 \quad (2.24)$$

En el espacio 4-dimensional, definiremos entonces el área  $L$  como la generalización:

$$4L^2 = (B_\mu C^\mu)^2 - (B^\mu B_\mu)(C^\mu C_\mu) \quad (2.25)$$

Se puede comprobar entonces que al igual que en el caso 3-dimensional, el vector  $2\mathbf{L}$  es dual al bivector construido de  $\mathbf{B}$  a  $\mathbf{C}$ . Es decir que si  $\mathbf{B}$  va en dirección  $x^0$  y  $\mathbf{C}$  va en dirección  $x^3$ , entonces  $\mathbf{L}$  es un bivector en el plano  $(x^1, x^2)$ . Así,  $L$  es una cantidad real siempre que  $\mathbf{B}$  y  $\mathbf{C}$  no sean ambos como-de-espacio. Por lo tanto trabajaremos únicamente con huesos nulos y como-de-tiempo. Además es claro que si el hueso es nulo, tenemos  $L = 0$ .





## Capítulo 3

# Cálculo de Regge y Relatividad General

### 3.1. Ecuaciones de Campo de Einstein en el Vacío

Utilizando todas las anteriores definiciones y el esquema anterior del Cálculo en Espacios Esqueleto, deduciremos ahora el análogo discretizado de las Ecuaciones de Campo de Einstein para el Vacío.

La manera más directa de llegar a la esqueletización de un espacio de Einstein y de llegar a las ecuaciones de campo es partiendo de un principio variacional. Para ello tomamos la Acción de Einstein-Hilbert:

$$I = \frac{1}{16\pi} \int R \sqrt{-g} d^4x \quad (3.1)$$

Las ecuaciones de de Campo de Einstein corresponderan entonces a la condición de que  $I$  sea un extremo. Es decir  $\delta I = 0$ . Esta condición es aplicable solamente cuando consideramos un espacio libre de materia y de campo electromagnético, es decir que obtendremos las ecuaciones de campo para el espacio vacío.

En el espacio esqueleto, la variación de esta acción debe realizarse sobre las longitudes de los simplex  $T_1$ , ya que como sabemos estas longitudes contienen la misma información que el tensor métrico.

Ahora bien, para obtener una expresión de  $I$  en términos de las longitudes, observemos primero que ni  $T_4$  ni  $T_3$  contribuyen a la integral, ya que  $R$  es simplemente una función distribución con soporte  $w$  tal como vimos anteriormente.

Por lo tanto  $I$  debe ser una función de los huesos  $T_2$ . Si  $k$  es el número de huesos en el esqueleto tenemos  $I = \sum_k F(T_2^k)$ . Ahora bien, el área del hueso  $L$  es una función aditiva, mientras que la función  $F$  es la misma para todos los huesos. Supondremos entonces que  $F$  es proporcional al área del hueso, i.e.  $F(T_2^k) = L_k f(\varepsilon_k)$ .

Por otro lado, un hueso  $T_2^k$  puede ser expresado como la superposición de dos huesos  $T_2^{k'}$  y  $T_2^{k''}$  con la misma forma y área y tales que  $\varepsilon_k = \varepsilon_{k'} + \varepsilon_{k''}$ . Se sigue entonces que  $f(\varepsilon_k) = f(\varepsilon_{k'}) + f(\varepsilon_{k''})$ . Esta condición implica que  $f(\varepsilon) = C\varepsilon$  donde  $C$  es una constante. Así tenemos que la acción se puede expresar como:

$$I = C \sum_k L_k \varepsilon_k \quad (3.2)$$

Utilizando la expresión para el escalar de curvatura dado por la ecuación 2.6 y en los límites de una variedad aproximadamente plana tenemos que la acción viene dada por:

$$I = \frac{1}{8\pi} \int \varepsilon \varrho d^4 x \quad (3.3)$$

Comparando las ecuaciones 3.2 y 3.3 tenemos  $C = \frac{1}{8\pi}$ , con lo que obtenemos finalmente la Acción de Regge:

$$I = \frac{1}{8\pi} \sum_k L_k \varepsilon_k \quad (3.4)$$

En una variedad  $n$ -dimensional  $M_n$  tendremos la generalización:

$$I = \frac{1}{8\pi} \sum_k L_k^n \varepsilon_k \quad (3.5)$$

donde  $L_k^n$  es la  $(n-2)$ -dimensional medida del hueso  $T_{n-2}$ .

La siguiente tarea será encontrar la variación de la Acción de Regge en términos de las longitudes  $l_p$  de los simplex  $T_1^p$  constituyentes de los huesos.

Esto es:

$$\delta I = \frac{1}{8\pi} \delta \sum_k L_k \varepsilon_k = 0 \quad (3.6)$$

La dependencia de el área del hueso en esta longitud es clara, pero la dependencia del ángulo de déficit  $\varepsilon$  es bastante complicada. Sin embargo, siguiendo a T. Regge<sup>[1]</sup> se puede comprobar (ver Apéndice 1) que la variación puede realizarse como si los  $\varepsilon_n$  fuesen constantes, es decir que la ecuación 3.6 es simplemente:

$$\delta I = \frac{1}{8\pi} \sum_k \varepsilon_k \delta L_k = 0 \quad (3.7)$$

En el caso de  $M_3$  los huesos seran los vértices y por lo tanto  $\delta L_k = \delta l_k$ , y por lo tanto la Ecuación 3.7 se reduce simplemente a la condición  $\varepsilon_k = 0$ . Esto quiere decir que todos los espacios esqueletos de Einstein de dimensión 3 son planos.

Ahora bien, en una variedad 4-dimensional, y de acuerdo con la trigonometría elemental, el cambio en el área de un triángulo en función de la variación en la longitud de sus lados será (ver Apéndice 2):

$$\delta L_k = \frac{1}{2} \sum_p l_p \cot(\theta_{pk}) \delta l_p \quad (3.8)$$

Donde  $\theta_{pk}$  es el ángulo opuesto al lado  $l_p$  en el triángulo  $T_2^k$ . De esta manera reemplazando este resultado en la Ecuación 3.7 obtenemos:

$$\delta I = \frac{1}{16\pi} \sum_k \sum_p \varepsilon_k l_p \cot(\theta_{pk}) \delta l_p = 0 \quad (3.9)$$

es decir:

$$\sum_k \varepsilon_k \cot(\theta_{pk}) = 0 \quad \text{con } p = 1, 2, \dots \quad (3.10)$$

La ecuación 3.10 corresponde a la versión discretizada de las Ecuaciones de Campo de Einstein en el vacio según el método de Regge. Se puede observar que se tiene una ecuación por cada longitud de un vértice dentro de la región de espacio-tiempo que se analiza.

## 3.2. Desviación de la Geodesicas en el Modelo de Regge

Una de las preguntas abiertas en la formulación de Regge es la interacción entre el campo Gravitacional y materia. Se han logrado realizar la inclusión de algunos términos que representan materia en esta formulación, pero para ello se deben hacer algunas restricciones acerca de la clase de materia que se acopla al campo gravitacional y se deben imponer ciertas simetrías al campo.

Otra manera de incorporar la materia en la formulación de Regge es la de identificar primero los parámetros que identifican a la materia tanto en la formulación continua de la Relatividad General como en el cálculo de Regge, y de esta manera simplemente se insertarían los términos apropiados en las ecuaciones discretas. Sin embargo esta identificación no es trivial y usualmente conduce a divergencias.

Una manera de comenzar con esta identificación es analizar inicialmente una de las manifestaciones mas elementales de la influencia de la gravedad en la materia: la Desviación de Geodésicas. Esta desviación nos describe la aceleración relativa de partículas de prueba libres en un espacio-tiempo curvo. Primero analizaremos el caso en la formulación continua siguiendo a Synge<sup>[4]</sup>.

### 3.2.1. Desviación de Geodesicas en Relatividad General

Sea  $C(v)$  un conjunto de curvas con ecuación  $x^\mu = x^\mu(u, v)$ , de tal manera que  $v$  es constante a lo largo de cada curva, y parametrizada por  $u$ . Este conjunto de curvas forman una superficie 2-dimensional.

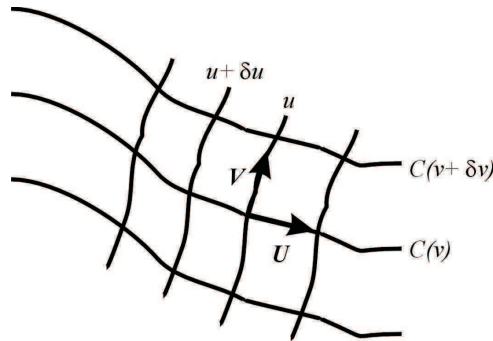


Figura 3.1: Familia de Geodesicas  $C(v)$  parametrizadas por  $u$ . Los vectores  $\mathbf{U}$  y  $\mathbf{V}$  son tangentes a las curvas con  $v$  y  $u$  constante respectivamente.

### 3.2. DESVIACIÓN DE LA GEODESICAS EN EL MODELO DE REGGE 25

Los vectores  $U^\mu = \partial_u x^\mu = \frac{\partial x^\mu}{\partial u}$  y  $V^\mu = \partial_v x^\mu = \frac{\partial x^\mu}{\partial v}$  satisfacen:

$$\frac{\delta U^\mu}{\delta v} = \frac{\delta V^\mu}{\delta u} \quad (3.11)$$

donde  $\frac{\delta}{\delta u}$  y  $\frac{\delta}{\delta v}$  son las derivadas covariantes a lo largo de las curvas con  $v$  y  $u$  constante respectivamente.

Consideremos dos curvas adyacentes  $C(v)$  y  $C(v + \delta v)$ . De esta manera, el vector  $V^\mu$  representara la separación entre las dos curvas. Para encontrar como se desvia la curva  $C(v + \delta v)$  de la curva  $C(v)$  calculamos la segunda derivada covariante del vector de separación, a lo largo de la curva  $C(v)$ , parametrizada por  $u$ . Esto es:

$$\frac{\delta^2 V^\mu}{\delta u^2} = \frac{\delta}{\delta u} \frac{\delta V^\mu}{\delta u} \quad (3.12)$$

Utilizando 3.11 tenemos:

$$\frac{\delta^2 V^\mu}{\delta u^2} = \frac{\delta}{\delta u} \frac{\delta U^\mu}{\delta v} \quad (3.13)$$

Ahora bien, sabemos que la diferenciación covariante en una 2-superficie satisface la regla de conmutación:

$$\frac{\delta^2 T^\mu}{\delta u \delta v} - \frac{\delta^2 T^\mu}{\delta v \delta u} = R_{\alpha\beta\gamma}^\mu T^\alpha U^\beta V^\gamma \quad (3.14)$$

Así tenemos que la ecuación 3.13 será:

$$\frac{\delta^2 V^\mu}{\delta u^2} = \frac{\delta}{\delta v} \frac{\delta U^\mu}{\delta u} + R_{\alpha\beta\gamma}^\mu U^\alpha U^\beta V^\gamma \quad (3.15)$$

donde  $R_{\alpha\beta\gamma}^\mu$  es el tensor de Riemann.

Si tomamos las curvas  $C(v)$  como geodésicas tenemos la condición:

$$\frac{\delta U^\mu}{\delta u} = 0 \quad (3.16)$$

Así, tenemos que la ecuación de la desviación de las geodesicas será:

$$\frac{\delta^2 V^\mu}{\delta u^2} = R_{\alpha\beta\gamma}^\mu U^\alpha U^\beta V^\gamma \quad (3.17)$$

$$\frac{\delta^2 V^\mu}{\delta u^2} - R_{\alpha\beta\gamma}^\mu U^\alpha U^\beta V^\gamma = 0 \quad (3.18)$$

Además, utilizando las simetrías del Tensor de Riemann tenemos:

$$\frac{\delta^2 V^\mu}{\delta u^2} + R^\mu_{\alpha\beta\gamma} U^\alpha V^\beta U^\gamma = 0 \quad (3.19)$$

Ahora bien, si en lugar del parámetro  $u$  utilizamos la longitud de arco  $s$ , y las líneas parametrizadas con  $v$  las tomamos ortogonales a las  $C(v)$ ; la ecuación de desviación de Geodésicas toma la forma general:

$$\frac{\delta^2 \mathbf{V}}{\delta s^2} + \mathbf{R}(\mathbf{U}, \mathbf{V}, \mathbf{U}) = 0 \quad (3.20)$$

Como caso especial, en una variedad 2-dimensional el tensor de Riemann tendrá únicamente una componente diferente de cero, que tomaremos como  $R^1_{212}$ .

### 3.2.2. Desviación de las Geodésicas en el modelo discretizado:

Para observar el efecto de la desviación de las geodésicas en el caso discreto seguiremos el trabajo de S. Chakrabarti, et. al.<sup>[5]</sup>. En este caso será suficiente considerar un espacio-tiempo 2-dimensional. De esta manera la curvatura estará concentrada en los vértices de la red simplicial.

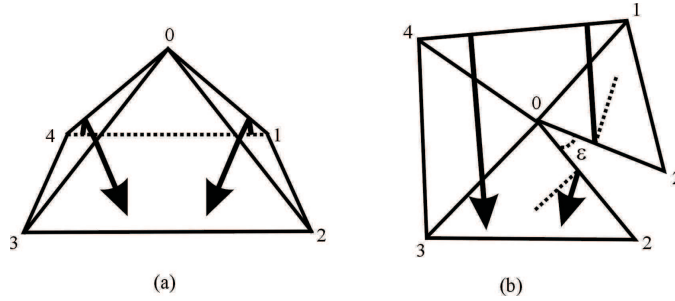


Figura 3.2: (a) Dos geodesicas originalmente paralelas, convergen cuando entran al triángulo [023] debido al ángulo de deficit  $\varepsilon$  en el vértice [0]. (b) Al realizar un corte en la arista [02] y colocando el simplex en un plano se observa el ángulo de deficit  $\varepsilon$ . Las geodesicas son ahora rectas, y no cambian de dirección al pasar de un triángulo al otro. La desviación solo se hace visible en el triángulo [023].

En la figura 3.2(a) vemos como dos geodésicas que son paralelas al entrar en el triángulo [014] sufren una desviación debido al ángulo de déficit  $\varepsilon$  del vértice

### 3.2. DESVIACIÓN DE LA GEODESICAS EN EL MODELO DE REGGE 27

[0]. Para obtener una mejor visión de lo que sucede en realidad realizamos un corte en una de las aristas del 3-simplex [01234] y colocamos la figura resultante en un plano (Figura 3.2(b)). Así, las geodésicas se convierten en simples rectas. Sin embargo, aún cuando inicialmente son paralelas, al llegar al triángulo [023] convergen debido al ángulo de déficit  $\varepsilon$ .

Observamos entonces que la pasar alrededor de un vértice, las geodésicas sufren una desviación que se manifiesta en un cambio en el ángulo de convergencia de las geodésicas  $\Delta\alpha$ , y este cambio corresponde al ángulo de déficit asociado con el vértice, i.e.

$$\Delta\alpha = \varepsilon \quad (3.21)$$

Es decir que al igual que en el caso continuo, la curvatura enfoca o dispersa las geodésicas. Sin embargo, en el caso de un único vértice, el cambio en el ángulo de convergencia de las geodésicas no puede ser continuo. Así, no es posible encontrar una ecuación de desviación de geodésicas que dependa de la segunda derivada del vector de separación, tal como en el caso continuo.

#### Desviación Producida por una Distribución de Vértices (Caso 2-dimensional)

Para lograr encontrar el análogo de la Ecuación de Desviación de Geodésicas (Ec. 3.19) en la formulación de Regge, estudiaremos el caso de un espacio 2-dimensional.

Consideramos una region de una red Simplicial, en la cual existen  $N$  vértices con ángulos de déficit  $\{\varepsilon_i\}_{i=1}^N$ . Asumimos además que cada ángulo de déficit  $\varepsilon_i$  es pequeño, y que el área que contiene los vértices,  $\Delta A$ , es también pequeña. Sin embargo, el ángulo total de déficit por unidad de area

$$\Theta = \frac{1}{\Delta A} \sum_{i=1}^N \varepsilon_i = n\bar{\varepsilon} \quad (3.22)$$

es finito. Además hemos definido  $n$  como la densidad de vértices por unidad de área y  $\bar{\varepsilon}$  como el ángulo de déficit promedio por vértice:

$$\bar{\varepsilon} = \frac{1}{N} \sum_{i=1}^N \varepsilon_i \quad (3.23)$$

Consideremos ahora dos geodésicas  $C_1$  y  $C_2$  que pasan rodeando el conjunto de  $N$  vértices. El cambio en el ángulo de convergencia de las dos geodésicas estará determinado por el ángulo total de déficit asociado con el área considerada:

$$\Delta\alpha = \sum_{i=1}^N \varepsilon_i \quad (3.24)$$

Asumiremos ahora que cada geodésica esta parametrizada por la longitud de arco  $s$  y que estas geodésicas estan definidas además por un parámetro  $v$  tal que las líneas  $s = \text{const.}$  son ortogonales a las geodésicas. Aproximamos ahora esta situación a una variedad 2-dimensional con coordenadas  $(x^1, x^2)$ , tales que las líneas con coordenada  $x^1 = \text{const.}$  corresponden a las curvas con  $v = \text{const.}$  mientras que las líneas con  $x^2 = \text{const.}$  corresponden a las geodésicas.

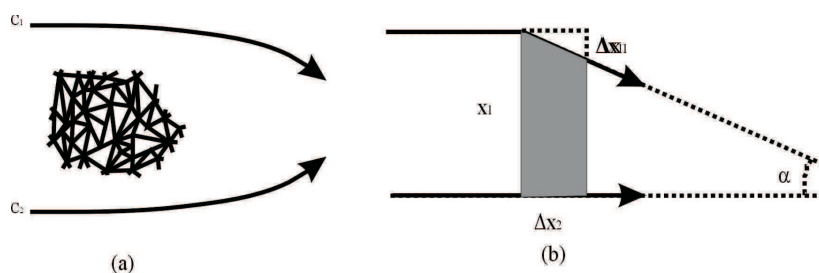


Figura 3.3: (a) Las geodesicas  $C_1$  y  $C_2$  son defelctadas por  $N$  vertices. (b) Representacion de la desviacion de geodesicas producidas por la distribucion de  $N$  vertices.

De esta manera, el área que contiene los  $N$  vértices esta dada por  $\Delta A = x^1 \Delta x^2 m$ . (Figura 3.3 (b)).

Las componentes del Vector de Separación  $\mathbf{V}$  y del vector velocidad de la geodésica  $\mathbf{U}$  serán:

$$\mathbf{V} = (x^1, 0) \quad (3.25)$$

$$\mathbf{U} = \left(0, \frac{\Delta x^2}{\Delta s}\right) = (0, 1) \quad (3.26)$$

Además, de la Figura 3.3(b) podemos observar que el ángulo de convergencia se puede aproximar por:

$$\alpha \approx \tan \alpha = \frac{\Delta x^1}{\Delta x^2} \quad (3.27)$$



### 3.2. DESVIACIÓN DE LA GEODESICAS EN EL MODELO DE REGGE 29

De esta manera, utilizando las expresiones 3.27 y 3.22 podemos escribir la ecuación 3.24 como:

$$\Delta \left( \frac{\Delta x^1}{\Delta x^2} \right) = \sum_{i=1}^N \varepsilon_i = n\bar{\varepsilon} \Delta A \quad (3.28)$$

$$\Delta \left( \frac{\Delta x^1}{\Delta x^2} \right) = n\bar{\varepsilon} x^1 \Delta x^2 \quad (3.29)$$

Ya que  $\Delta x^2 = \Delta s$  y como la norma del vector de separacion es  $V = x^1$  tenemos:

$$\Delta \left( \frac{\Delta V}{\Delta s} \right) + n\bar{\varepsilon} V \Delta s = 0 \quad (3.30)$$

$$\frac{\Delta}{\Delta s} \left( \frac{\Delta V}{\Delta s} \right) + n\bar{\varepsilon} V = 0 \quad (3.31)$$

Llevando esta expresión al caso infinitesimal, y ya que el vector separación puede expresarse como  $V = (V^1, 0)$  obtenemos:

$$\frac{\delta^2 V^1}{\delta s^2} + n\bar{\varepsilon} V^1 = 0 \quad (3.32)$$

Ahora bien, como dijimos en la sección anterior, en el caso 2-dimensional el tensor de Riemann tiene una sola componente diferente de cero, que tomaremos como  $R_{212}^1$ , y de esta manera la Ecuación 3.20 puede escribirse como:

$$\frac{\delta^2 V^1}{\delta s^2} + R_{212}^1 V^1 = 0 \quad (3.33)$$

Comparando estas dos ultimas ecuaciones obtenemos la identificación:

$$R_{212}^1 = n\bar{\varepsilon} \quad (3.34)$$

es decir que la única componente del Tensor de Riemann en el caso 2-dimensional se puede interpretar como el ángulo de déficit promedio por unidad de área.

**Generalización a 4 dimensiones**

Para generalizar los anteriores resultados a una variedad 4-dimensional, simplemente debemos notar que en este caso la curvatura esta concentrada en 2-simplex, es decir triángulos. Además, para una variedad 4-dimensional el tensor de Riemann tiene 20 componentes independientes.

Si tenemos una región infinitesimal con  $N$  triángulos, una geodésica que se encuentre dentro de un plano ortogonal a uno de esos triángulos sufrirá una desviación igual a la magnitud del ángulo de déficit correspondiente al triángulo. Es decir exactamente igual al caso 2-dimensional.

Ahora bien, en general la geodésica no va a encontrarse en el plano ortogonal a todos los triángulos, y además no todos los triángulos tienen la misma orientación. Si definimos el ángulo  $\theta$  como el formado entre la dirección del vector tangente a la geodésica y el vector normal a uno de los triángulos, tenemos que el vector tangente sufrirá una rotación en un ángulo  $\varepsilon \cos \theta$ .

De esta manera es inmediato que para hacer la generalización a 4 dimensiones solamente debemos reemplazar  $n$  por el número de triángulos por unidad de volumen y cambiar el ángulo déficit promedio  $\bar{\varepsilon}$  por el ángulo de déficit efectivo que afecta una geodésica con vector tangente  $\mathbf{U}$  definido como:

$$\varepsilon_U = \sum_{i=1}^N \varepsilon_i \cos \theta_i \quad (3.35)$$

donde  $\theta_i$  es el ángulo entre el vector tangente  $U$  y el plano ortogonal al triángulo con ángulo de déficit  $\varepsilon_i$ .

De esta manera recuperamos la definición del tensor de Riemann obtenida en la Ecuación 2.5, es decir que en la formulación de Regge esta representado por el ángulo de déficit promedio efectivo por unidad de volumen.

# Apéndice 1: Variación de la Acción de Regge

En este Apéndice mostraremos como para una variedad  $n$ -dimensional  $M_n$ , se cumple que para variaciones infinitesimales de  $l$  :

$$\sum_p L_p^n \delta \varepsilon_p = 0 \quad (36)$$

donde  $L_p^n$  es la medida  $(n-2)$ -dimensional del  $p$ -ésimo hueso.

Sea  $T_n$  un simplex, y definamos en el un conjunto de coordenadas cartesianas.  $T_n$  posee  $n+1$  simplex frontera denotados  $T_{n-1}^r$  ( $r = 1, 2, \dots, n+1$ ). Dos de estos simplex  $T_{n-1}^r$  y  $T_{n-1}^s$  tendrán una frontera común denotada por  $T_{n-2}^{rs}$ .

Sea  $U_\mu^r$  el vector unitario normal al  $T_{n-1}^r$  ( $r = 1, 2, \dots, n+1$ ), es decir  $(U^r)_\mu (U^r)^\mu = 1$ . Si  $\theta_{rs}$  es el ángulo entre  $T_{n-1}^r$  y  $T_{n-1}^s$  entonces tenemos:

$$\cos \theta_{rs} = (U^r)_\mu (U^s)^\mu \quad (37)$$

Ahora consideremos el tensor Sesqui- Simétrico  $(U^{rs})_{\mu\nu} = -(U^{rs})_{\nu\mu}$  definido por:

$$\sin(\theta_{rs}) (U^{rs})_{\nu\mu} = (U^r)_\mu (U^s)_\nu - (U^r)_\nu (U^s)_\mu \quad (38)$$

Claramente tenemos que  $(U^{rs})_{\mu\nu} (U^{rs})^{\mu\nu} = 2$ , por lo que este tensor es el mismo que se utilizó en la Sección 3.7 para calcular el Tensor de Riemann. Este vector define la orientación de  $T_{n-2}^{rs}$ .

Ahora bien, si  $L_{rs}$  es la medida del simplex  $T_{n-2}^{rs}$  tenemos la identidad:

$$\sum_s L_{rs} U^{rs} = 0 \quad (39)$$

Para comprobar 39 tomemos por ejemplo un sistema en el que  $(U^r)_\mu = 1$  y  $(U^r)_{\mu \neq 0} = 0$ . Entonces las únicas componentes no nulas de  $(U^{rs})_{v\mu}$  son las que tengan  $v \neq 0$ , y por lo tanto llamamos  $(V^s)_v = (U^{rs})_{v0}$ . Tenemos entonces  $(V^s)_v (V^s)^v = 1$ . Ahora bien, en  $T_{n-1}^r$ , la cantidad  $\sum_s L_{rs} (V^s)_v A^v$  es simplemente el flujo del vector constante  $A^v$  a través de la frontera de  $T_{n-1}^r$  y por lo tanto debe ser cero. Así llegamos a la ecuación 39.

Diferenciando la ecuación 37 tenemos:

$$\delta\theta_{rs} = -\frac{1}{\sin\theta_{rs}} \left[ (U^r)_\mu \delta(U^s)^\mu + (U^s)_\mu \delta(U^r)^\mu \right] \quad (40)$$

Por otro lado, multiplicando 38 por  $(U^r)^v$  obtenemos:

$$(U^{rs})_{v\mu} (U^r)^v = \frac{1}{\sin\theta_{rs}} \left[ (U^r)_\mu (U^s)_v (U^r)^v - (U^r)_v (U^r)^v (U^s)_\mu \right] \quad (41)$$

$$(U^{rs})_{v\mu} (U^r)^v = \frac{1}{\sin\theta_{rs}} \left[ \cos\theta_{rs} (U^r)_\mu - (U^s)_\mu \right] \quad (42)$$

Multiplicando esta última expresión por  $\delta(U^r)^\mu$  y utilizando  $(U^r)_\mu \delta(U^r)^\mu = 0$  tenemos:

$$(U^{rs})_{v\mu} (U^r)^v \delta(U^r)^\mu = -\frac{1}{\sin\theta_{rs}} (U^s)_\mu \delta(U^r)^\mu \quad (43)$$

Reemplazando esta ecuación en 40 tenemos:

$$\delta\theta_{rs} = (U^{rs})_{v\mu} [(U^r)^v \delta(U^r)^\mu + (U^s)^v \delta(U^s)^\mu] \quad (44)$$

Multiplicando por  $L_{rs}$  y sumando obtenemos:

$$\sum_{r,s} L_{rs} \delta\theta_{rs} = \sum_{r,s} L_{rs} (U^{rs})_{v\mu} [(U^r)^v \delta(U^r)^\mu + (U^s)^v \delta(U^s)^\mu] \quad (45)$$

Utilizando 39 se tiene:

$$\sum_{r,s} L_{rs} \delta \theta_{rs} = 0 \quad (46)$$

Si sumamos esta expresión sobre todos los simplex del esqueleto obtenemos finalmente:

$$\sum_p L_p^n \delta \varepsilon_p = 0 \quad (47)$$

Es decir que la variación de la Acción de Regge sera simplemente:

$$\delta I = \frac{1}{8\pi} \delta \sum_k \varepsilon_k L_k = \frac{1}{8\pi} \sum_k [L_k \delta \varepsilon_k + \varepsilon_k \delta L_k] = \frac{1}{8\pi} \sum_k \varepsilon_k \delta L_k = 0 \quad (48)$$



## Apéndice 2: Cambio en el área de un triángulo en función de la variación en la longitud de sus lados.

Consideremos el triángulo  $ABC$  de la Figura 4. Si hacemos una pequeña variación  $\delta A$  en uno de sus lados manteniendo constantes los lados  $B$  y  $C$  obtendremos el triángulo  $ABC$  que se observa.

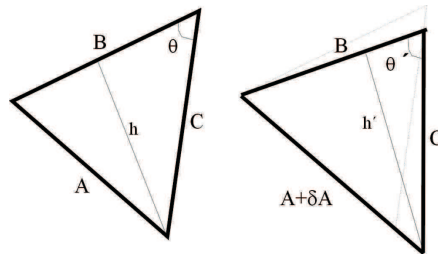


Figura 4: Cambio en el area de un triangulo

El área del triángulo  $ABC$  será simplemente  $\frac{1}{2}Bh$ . Por otro lado el área del triángulo  $ABC$  será  $\frac{1}{2}Bh'$ . De esta manera el cambio en el área es:

$$\delta L = \frac{1}{2}B(h' - h) \quad (49)$$

De la Figura 4 observamos además que  $h = C \sin \theta$  mientras que  $h' = C \sin \theta'$ . Así tenemos:

$$\delta L = \frac{1}{2}BC (\sin \theta' - \sin \theta) \quad (50)$$

Utilizando el Teorema del Coseno tenemos  $A^2 = B^2 + C^2 - 2BC \cos \theta$ . De donde, diferenciando, obtenemos:

$$2A\delta A = 2BC \sin(\theta)\delta\theta \quad (51)$$

$$\frac{A\delta A}{BC \sin \theta} = \delta\theta \quad (52)$$

Ahora bien, el ángulo  $\theta'$  será simplemente  $\theta' = \theta + \delta\theta$ . De esta manera tenemos que:

$$\sin \theta' = \sin(\theta + \delta\theta) = \sin \theta \cos \delta\theta + \cos \theta \sin \delta\theta \quad (53)$$

Ya que estamos considerando  $\delta A$  infinitesimal, tendremos también  $\delta\theta$  infinitesimal y por lo tanto podemos aproximar:

$$\sin \theta' = \sin \theta \cos \delta\theta + \cos \theta \sin \delta\theta \approx \sin \theta + \cos(\theta)\delta\theta \quad (54)$$

Reemplazando en la ecuación 50 tenemos:

$$\delta L = \frac{1}{2}BC (\sin \theta + \cos(\theta)\delta\theta - \sin \theta) = \frac{1}{2}BC \cos(\theta)\delta\theta \quad (55)$$

Utilizando ahora la ecuación 52 obtenemos:

$$\delta L = \frac{1}{2}BC \cos \theta \left( \frac{A\delta A}{BC \sin \theta} \right) \quad (56)$$

$$\delta L = \frac{1}{2} \cot(\theta) A \delta A \quad (57)$$

Si ahora numeramos los lados del triángulo como  $l_1, l_2, l_3$  y realizamos variaciones a cada uno de ellos tendremos que la variación en el área del triángulo será:

$$\delta L = \frac{1}{2} \sum_p l_p \cot(\theta_p) \delta l_p \quad (58)$$

donde  $\theta_p$  es el ángulo opuesto al lado  $l_p$ .



# Bibliografía

- [1] T. Regge, *Il Nuovo Cimento*, **19**, 558-71 (1961)
- [2] C.W. Misner, K. Thorne and J.A. Wheeler, *Gravitation* (Freeman, San Francisco, 1973)
- [3] M. Nakahara, *Geometry, Topology and Physics*. (Adam Hilger, New York 1990)
- [4] J.L. Synge, *Relativity: The General Theory*. (North-Holland Publishing Company, Amsterdam 1966)
- [5] S. Chakrabarti, A. Gentle, A. Kheyfets and W. Miller, *Geodesic Deviation in Regge Calculus*. **gr-qc/9810031** (1998)